

Cálculos de estructura electrónica en perovskitas $BiFeO_3$ y $YCrO_3$

Shigeru Nagata

2019

Universidad Nacional de Ingeniería
Facultad de ciencias

Índice

1. Introducción
2. Conceptos básicos
 - Aproximación de Born-Oppenheimer
 - Método de Hartree-Fock
 - Teoremas de Hohenberg-Kohn
 - Ecuación de Kohn-Sham
 - Aproximación de densidad local
 - Parámetro U de Hubbard
3. Resultados
 - Pseudopotencial
 - Arreglos antiferromagnéticos
 - Bucle autoconsistente
4. Conclusiones

Introducción

Multiferroicos

- Ferroelectricidad
- Ferromagnetismo
- Ferroelasticidad

Aplicaciones

- Sensores
- Transductores
- Osciladores
- Dispositivo de almacenamiento

El $BiFeO_3$ y $YCrO_3$ han sido sintetizados en el Laboratorio de Física de la Materia Condensada (LFMC) de la Universidad Nacional de Ingeniería.

Conceptos básicos

Hamiltoniano

$$-\sum_{I=1}^N \frac{1}{2} \nabla_I^2 - \sum_{i=1}^n \frac{1}{2} \nabla_i^2 + \frac{1}{2} \sum_{I \neq J}^N \frac{Z_I Z_J}{|R_I - R_J|} + \frac{1}{2} \sum_{i \neq j}^n \frac{1}{|r_i - r_j|} - \\ \sum_I^N \sum_j^n \frac{Z_I}{|R_I - r_j|}$$

- $-\sum_{I=1}^N \frac{1}{2} \nabla_I^2$: Energía cinética de los núcleos.
- $-\sum_{i=1}^n \frac{1}{2} \nabla_i^2$: Energía cinética de los electrones.
- $\frac{1}{2} \sum_{I \neq J}^N \frac{Z_I Z_J}{|R_I - R_J|}$: Interacción núcleo-núcleo.
- $\frac{1}{2} \sum_{i \neq j}^n \frac{1}{|r_i - r_j|}$: Interacción electrón-electrón.
- $\sum_I^N \sum_j^n \frac{Z_I}{|R_I - r_j|}$: Interacción núcleo-electrón.

Aproximación Born-Oppenheimer

$$H_{BO} = - \sum_{i=1}^N \frac{1}{2} \nabla_i^2 + \frac{1}{2} \sum_{I \neq J}^N \frac{Z_I Z_J}{|R_I - R_J|} + \frac{1}{2} \sum_{i \neq j}^n \frac{1}{|r_i - r_j|} - \\ \sum_I^N \sum_j^n \frac{Z_I}{|R_I - r_j|}$$

- Nucleos fijos
- Los nucleos dan origen al potencial externo donde se mueven los electrones.

Método de Hartree-Fock

Determinante de Slater

$$\psi(r_1 r_2 \cdots r_N) = \frac{1}{\sqrt{N!}} \begin{pmatrix} \phi_1(r_1) & \phi_2(r_1) & \cdots & \phi_N(r_1) \\ \phi_1(r_2) & \phi_2(r_2) & \cdots & \phi_N(r_2) \\ \vdots & \vdots & \ddots & \vdots \\ \phi_1(r_N) & \phi_2(r_N) & \cdots & \phi_N(r_N) \end{pmatrix}$$

Ecuación de Hartree-Fock

$$\begin{aligned} & \left[-\sum_i^n \frac{1}{2} \nabla_i^2 - \sum_i^N \frac{Z_i}{|R_i - r|} + \sum_{i \neq j}^n \int \frac{|\phi_i(r')|^2}{|r - r'|} d^3 r' \right] \phi_j(r) \\ & - \sum_i \int dr' \frac{\phi_i^*(r') \phi_j(r')}{|r' - r|} \phi_i(r) = E_j \phi_j(r) \end{aligned}$$

Teoremas de Hohenberg-Kohn

Teorema I

El potencial $V_{ext}(r)$ está determinado únicamente, excepto por una constante, por la densidad del estado fundamental $\rho_0(r)$.

Teorema II

La densidad que minimiza la energía total es exactamente la densidad del estado fundamental.

Ecuación de Kohn-Sham

$$\left[-\frac{1}{2} \nabla_i^2 + V_{ext} + V_H + V_{xc} \right] \phi_i(r) = \varepsilon_i \phi_i(r)$$

- $-\frac{1}{2} \nabla_i^2$: Energía cinética.
- V_{ext} : Potencial externo.
- V_H : Potencial de Hartree.
- V_{xc} : Potencial de intercambio-correlación

Aproximación de densidad local

Permite aproximar el término de intercambio-correlación.

$$E_{xc}^{LDA}[\rho] = \int d^3r \rho(r) \varepsilon_{xc}^{unif}[\rho(r)]$$

$$\varepsilon_x^{unif}(\rho) = -\frac{3}{4} \left(\frac{3}{\pi} \right)^{1/3} \rho^{1/3}$$

Many-Particle Physics. Gerald D. Mahan
pp.299

$$\varepsilon_c^{unif}(\rho) = \begin{cases} A \ln r_s + B + C r_s \ln r_s & ; r_s \rightarrow 0 \\ \frac{D}{r_s} + \frac{E}{r_s^{3/2}} & ; r_s \rightarrow \infty \end{cases}$$

r_s : radio de
wigner-Seitz
S. H. Vosko et al, Can. J.

$$r_s = \left(\frac{3}{4\pi\rho} \right)^{1/3}$$

Phys. 58, 1200 (1980)

Parámetro U de Hubbard

Los orbitales **d** fuertemente correlacionados requieren una corrección de la energía.

$$E^{LDA+U}[\rho(r)] = E^{LDA}[\rho(r)] + E^{Hubbard}[n_{mm'}^{l\sigma}] - E^{dc}[n^{l\sigma}]$$

Donde:

- $E^{LDA}[\rho(r)]$ funcional de la energía en LDA.
- $E^{Hubbard}[n_{mm'}^{l\sigma}]$ correlación de los estados ocupados de los orbitales.
- $E^{dc}[n^{l\sigma}]$ energía de correlación, para evitar el doble conteo.

$$E^{LDA+U}[\rho(r)] = E^{LDA}[\rho(r)] + \sum_I \left[\frac{U}{2} \sum_{m,\sigma \neq m',\sigma'} n_m^{l\sigma} n_{m'}^{l\sigma'} - \frac{U}{2} n^l (n^l - 1) \right]$$

Cálculo de U: semi-empírico

Se prueban varios valores de **U** buscando que los resultados coincidan con datos experimentales.

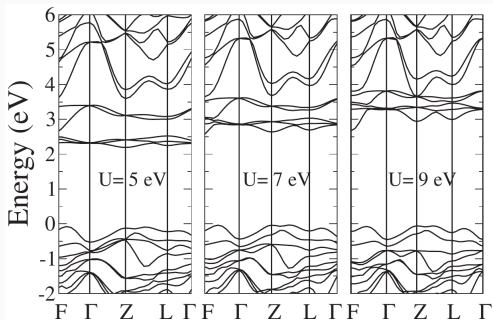


Figure 1: Estructura de bandas con diferentes valores de U . Sheng Ju et al. J. Chem. Phys. 130, 214708 (2009)

Cálculo de U: respuesta lineal

Se aplica una perturbación α en la energía de los estados d.

$$U = \chi_0^{-1} - \chi^{-1}$$

donde:

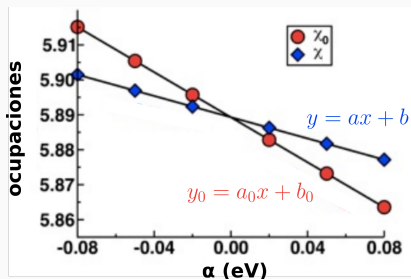
$$\chi = \frac{dn}{d\alpha}$$

α es pequeño y en un intervalo alrededor de cero.

Cococcioni and Gironcoli (2005)

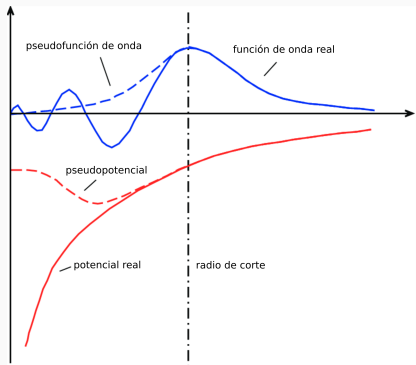
Procedimiento en Quantum ESPRESSO:

- Cálculo scf sin perturbación.
- Cálculo scf con cada valor de α .



$$U = \chi_0^{-1} - \chi^{-1} = 1/a_0 - 1/a^{12}$$

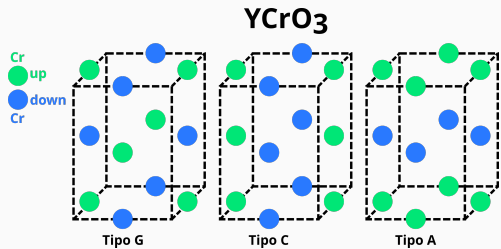
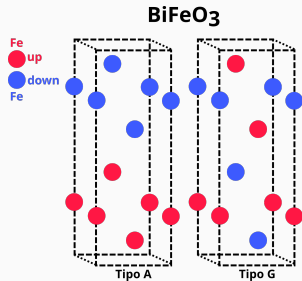
Pseudopotencial



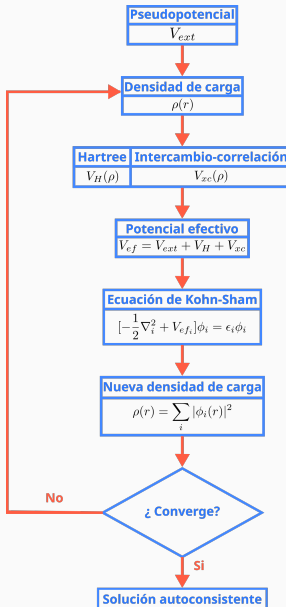
- Reemplazo de las funciones de onda por pseudofunciones.
- Se define un radio de corte.

Figure 2: Representación del pseudopotencial

Arreglos antiferromagnéticos



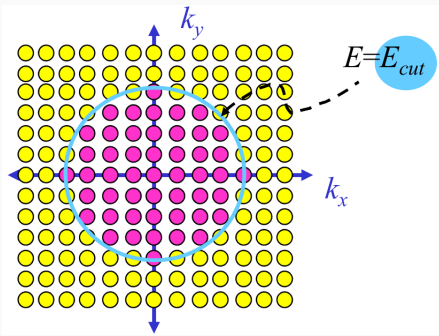
Bucle autoconsistente



Quantum ESPRESSO

- Suite formada por varios programas: pwscf, postproc, atomic, entre otros.
- Simula aislantes, metales y semiconductores.
- Pseudopotenciales ultrasuaves y PAW
- LDA, GGA, funcionales híbridos

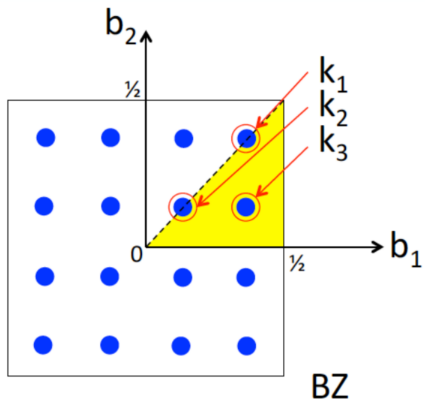
Energía de corte



Se define un límite para la expansión de las ondas planas.

$$\frac{|K + G|^2}{2} \leq E_{cut}$$

Muestreo de la 1^{ra} zona de Brillouin



$$\bar{A} = \int_{BZ} A(k) d(k)$$

$$\int_{BZ} d(k) \rightarrow \sum_K w_K$$

Ejemplo

$$4 \times K_1 \rightarrow w_1 = \frac{4}{16} = \frac{1}{4}$$

$$4 \times K_2 \rightarrow w_2 = \frac{4}{16} = \frac{1}{4}$$

$$8 \times K_3 \rightarrow w_3 = \frac{8}{16} = \frac{1}{2}$$

$$\int_{BZ} A(k) d(k) \approx \frac{1}{4} A(K_1) + \frac{1}{4} A(K_2) + \frac{1}{2} A(K_3)$$

Resultados

Energía de corte

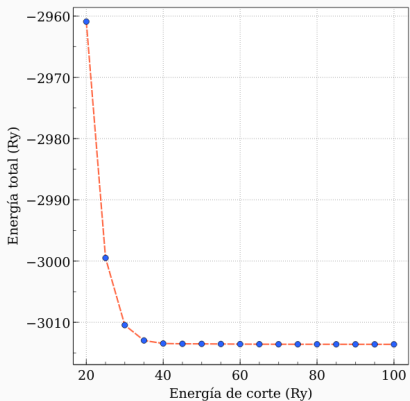


Figure 3: Energía de corte para el BiFeO_3

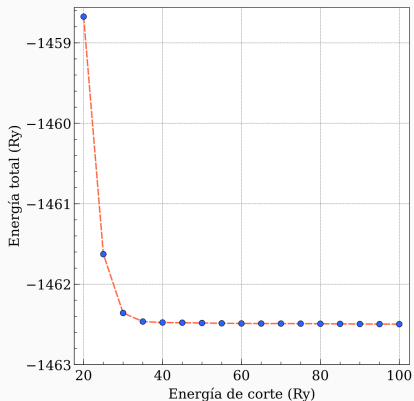


Figure 4: Energía de corte para el YCrO_3

Dimensión de la grilla de puntos K

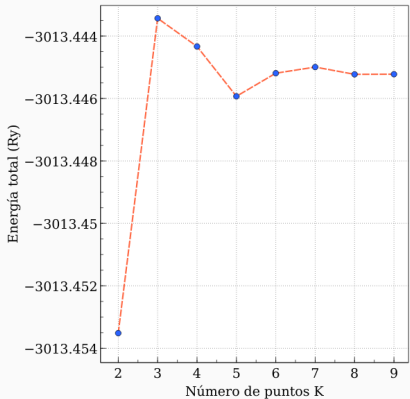


Figure 5: Dimensión de la grilla de puntos K para el $BiFeO_3$.

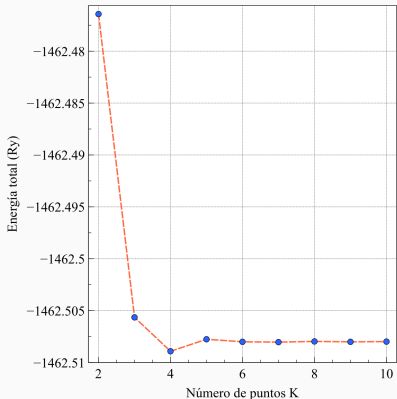


Figure 6: Dimensión de la grilla de puntos K para el $YCrO_3$.

BiFeO₃ con arreglo antiferromagnético tipo A

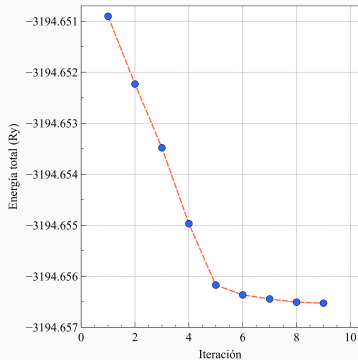


Figure 7: Minimización de la energía del BiFeO_3 con arreglo antiferromagnético tipo A.

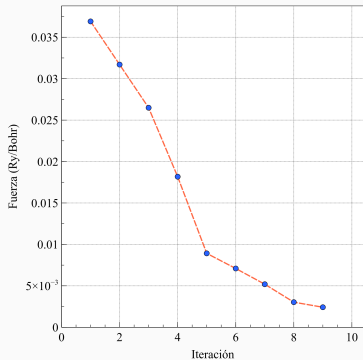


Figure 8: Minimización de la fuerza del BiFeO_3 con arreglo antiferromagnético tipo A.

El sistema converge luego de 9 iteraciones.

$BiFeO_3$ con arreglo antiferromagnético tipo G

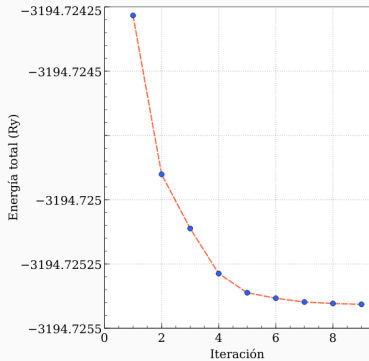


Figure 9: Minimización de la energía del $BiFeO_3$ con arreglo antiferromagnético tipo G.

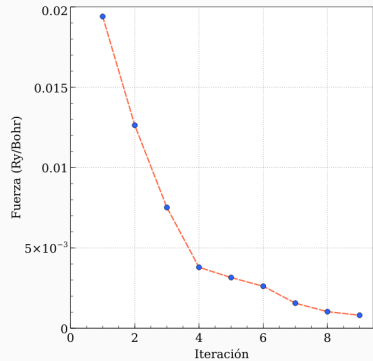


Figure 10: Minimización de la fuerza del $BiFeO_3$ con arreglo antiferromagnético tipo G.

El sistema converge luego de 9 iteraciones.

$YCrO_3$ con arreglo antiferromagnético tipo A

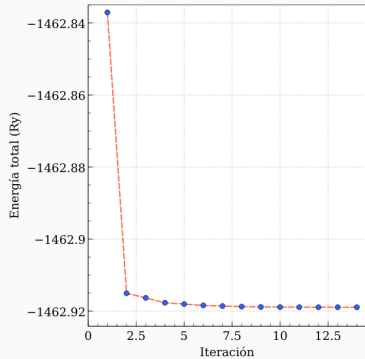


Figure 11: Minimización de la energía del $YCrO_3$ con arreglo antiferromagnético tipo A.

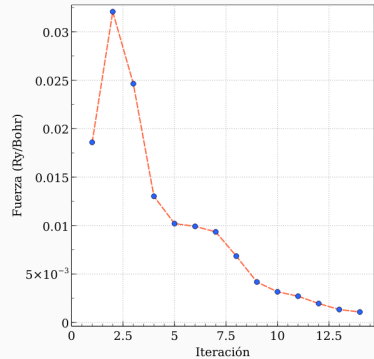


Figure 12: Minimización de la fuerza del $YCrO_3$ con arreglo antiferromagnético tipo A.

El sistema converge luego de 14 iteraciones.

$YCrO_3$ con arreglo antiferromagnético tipo C

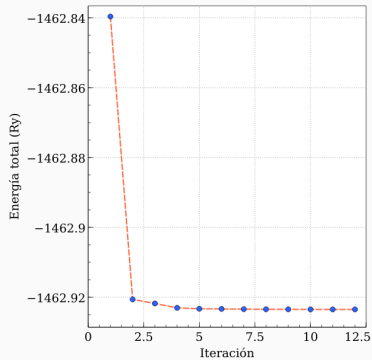


Figure 13: Minimización de la energía del $YCrO_3$ con arreglo antiferromagnético tipo C.

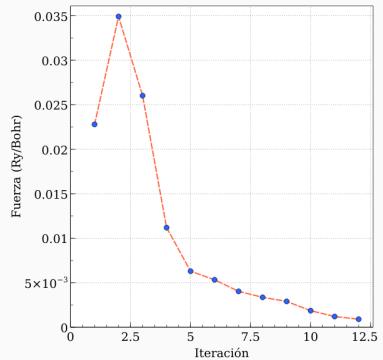


Figure 14: Minimización de la fuerza del $YCrO_3$ con arreglo antiferromagnético tipo C.

El sistema converge luego de 12 iteraciones.

$YCrO_3$ con arreglo antiferromagnético tipo G

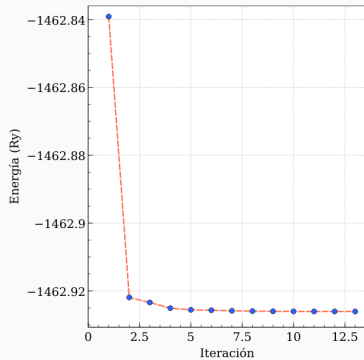


Figure 15: Minimización de la energía del $YCrO_3$ con arreglo antiferromagnético tipo G.

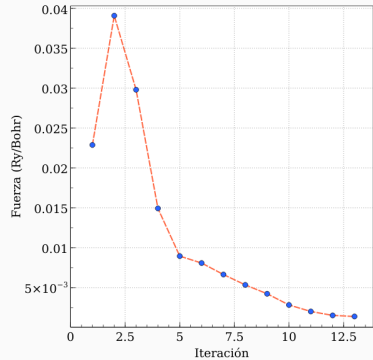


Figure 16: Minimización de la fuerza del $YCrO_3$ con arreglo antiferromagnético tipo G.

El sistema converge luego de 13 iteraciones.

Estructura de bandas del $BiFeO_3$

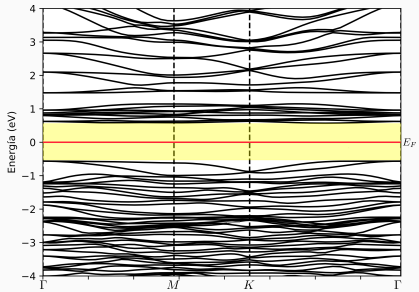


Figure 17: Bandas de energía del $BiFeO_3$ con arreglo antiferromagnético tipo A.

Gap: 1.4 eV.

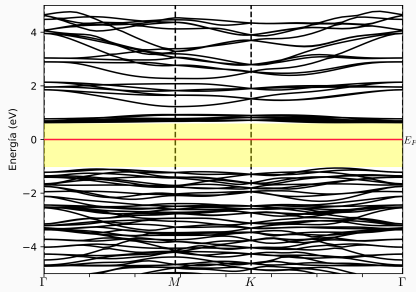


Figure 18: Bandas de energía del $BiFeO_3$ con arreglo antiferromagnético tipo G.

Gap: 1.8 eV.

Densidad de estados del $BiFeO_3$

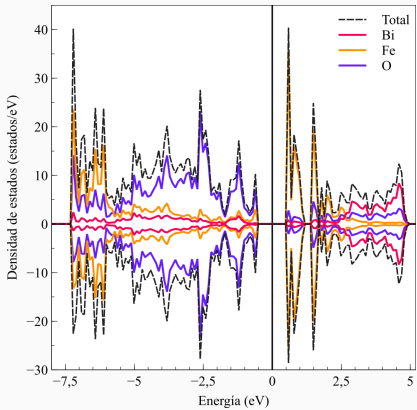


Figure 19: Densidad de estados total del $BiFeO_3$ con arreglo antiferromagnético tipo A.

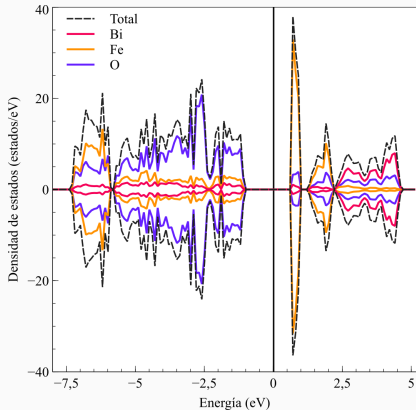


Figure 20: Densidad de estados total del $BiFeO_3$ con arreglo antiferromagnético tipo G.

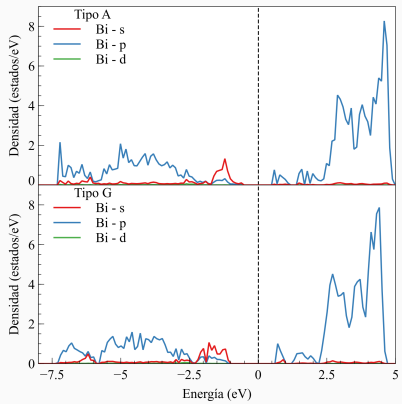


Figure 21: Densidad de estados parcial del bismuto del $BiFeO_3$.

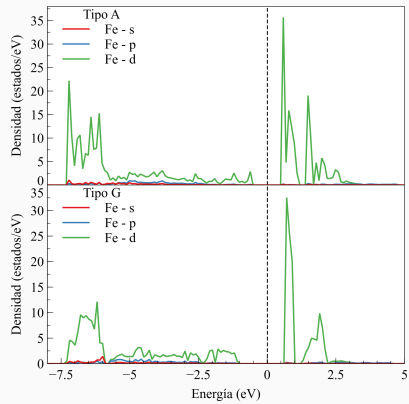


Figure 22: Densidad de estados parcial del hierro del $BiFeO_3$.

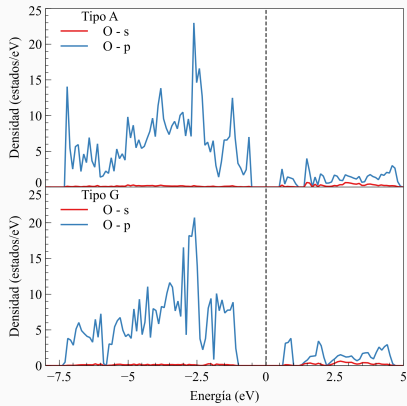


Figure 23: Densidad de estados parcial del oxígeno del BiFeO_3 .

Estructura de bandas del $YCrO_3$

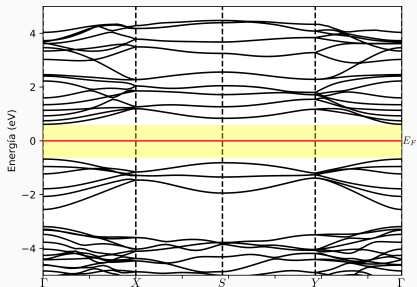


Figure 24: Bandas de energía del $YCrO_3$ con arreglo antiferromagnético tipo A.

Gap: 1.3 eV.

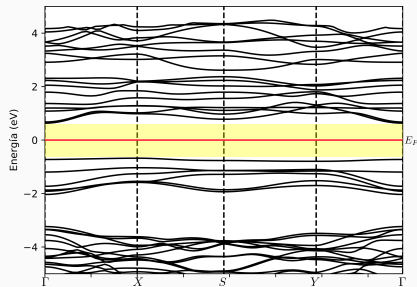


Figure 25: Bandas de energía del $YCrO_3$ con arreglo antiferromagnético tipo C.

Gap: 1.32 eV.

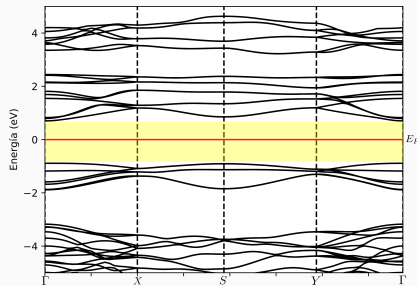


Figure 26: Bandas de energía del $YCrO_3$ con arreglo antiferromagnético tipo G.

Gap: 1.6 eV.

1.8 eV. Serrao et al. Physical Review B, 72, 2005

Densidad de estados del $YCrO_3$

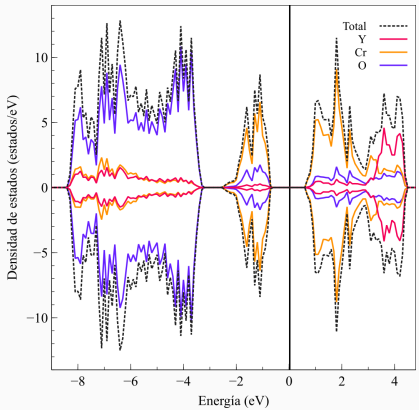


Figure 27: Densidad de estados total del $YCrO_3$ con arreglo antiferromagnético tipo A.

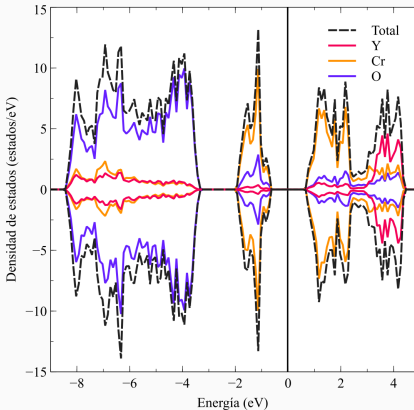


Figure 28: Densidad de estados total del $YCrO_3$ con arreglo antiferromagnético tipo C.

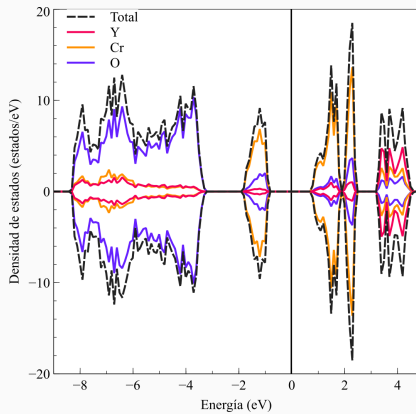


Figure 29: Densidad de estados total del $YCrO_3$ con arreglo antiferromagnético tipo G.

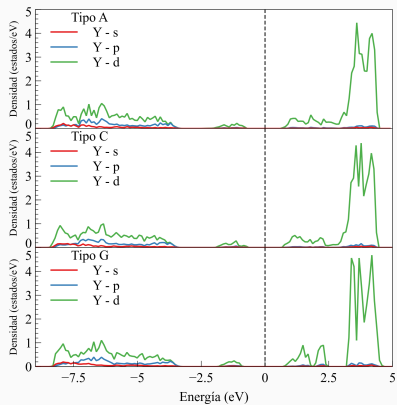


Figure 30: Densidad de estados parcial del itrio del $YCrO_3$.

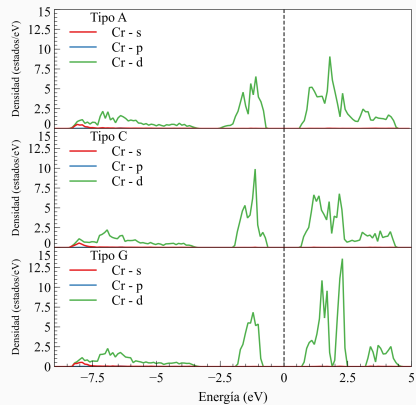


Figure 31: Densidad de estados parcial del cromo del $YCrO_3$.

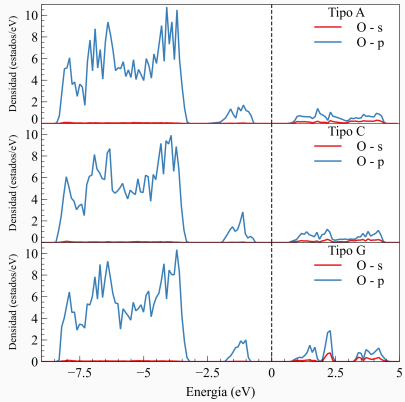


Figure 32: Densidad de estados parcial del oxígeno del $YCrO_3$.

Comparación entre $BiFeO_3$ y $YCrO_3$

Table 1: Comparación entre los gap de energía del $BiFeO_3$ y del $YCrO_3$.

	$BiFeO_3$	$YCrO_3$
Tipo A	1.4	1.3
Tipo G	1.8 S. Ju et al. Chem. Phys. 130, 2009	1.6 Serrao et al. Phys- ical Review B, 72, 2005
Tipo C		1.32

Conclusiones

Conclusiones

- Se han realizado con éxito cálculos de estructura electrónica para el $BiFeO_3$ y el $YCrO_3$.
- Para el $BiFeO_3$ se observaron gaps de energía de 1.4 eV y 1.8 eV para los arreglos antiferromagnéticos tipo A y G respectivamente.
- Los orbitales **d** del hierro poseen la mayor densidad cerca del nivel de fermi en la banda de conducción.
- Para el $YCrO_3$ se observaron gaps de energía de 1.3 eV, 1.32 eV y 1.6 eV para los arreglos antiferromagnéticos tipo A, C y G respectivamente.
- Los orbitales **d** del cromo poseen la mayor densidad cerca del nivel de fermi en la banda de conducción y en la banda de valencia.

Esta tesis a dado lugar a los siguientes trabajos:

- Un poster en XVII Encuentro de Física.
- Un poster en XXVII Simposio Peruano de Física.
- Un artículo en la revista REVCIUNI.

